

بهینه‌سازی جهت‌گیری بناهای ساختمانی در شهر سقز بر اساس شرایط اقلیمی

حسن لشکری (دانشیار جغرافیا و اقلیم‌شناسی دانشگاه شهید بهشتی تهران)

H-Lashkar:@sbu.ac.ir

هیوا سلکی (کارشناس ارشد اقلیم‌شناسی دانشگاه شهید بهشتی تهران، نویسنده‌ی مسؤل)

gagel61@yahoo.com

فاطمه طاهائی (کارشناس ارشد اقلیم‌شناسی دانشگاه پیام نور سقز)

چکیده

شهر سقز به دلیل واقع شدن در یک موقعیت خاص جغرافیایی، شرایط توپوگرافی و سامانه‌های جوی مؤثر بر منطقه، شرایط زیست‌اقلیمی ویژه‌ای را به خود اختصاص داده است. به گونه‌ای که سرمای شدید مشکلات زیادی را برای ساکنان این شهر ایجاد می‌کند، لذا لزوم بررسی شرایط اقلیمی در ارتباط با طراحی جهت استقرار ساختمان تلاشی است برای کاستن مشکلات مربوط که در این ارتباط با استفاده از داده‌های هواشناسی سینوپتیک وضعیت زیست‌اقلیمی شهر سقز مورد بررسی قرار گرفت و نتایج زیر حاصل شد: براساس شاخص نیاز حرارتی ساختمانی مشخص گردید $43/7$ درصد از مواقع سال کاملاً نیاز به گرمایش مکانیکی داریم و تنها $20/8$ درصد از سال، امکان بهره‌گیری از تابش آفتاب ممکن است. حدود $10/4$ از مواقع نیز آسایش در فضاهای بسته داریم و تنها $11/1$ درصد از مواقع سال آسایش کامل را دارد. به منظور بهره‌گیری بهینه از شرایط اقلیمی در ساختمان با استفاده از فرمول قانون کسینوس کل ساعات آفتابی در دوره گرم و سرد سال محاسبه شد، و مشخص گردید، در سقز برای استقرار بهینه‌ی ساختمان جهت جنوب‌شرقی با کشیدگی در راستای شرقی - غربی می‌باشد. به همین منظور این پرسش مطرح می‌شود: آیا جهات ساختمانی شهر سقز با شرایط اقلیمی منطقه همساز است؟

کلیدواژه‌ها: اقلیم و معماری، سقز، جهت‌گیری ساختمان، نیاز حرارتی.

درآمد

ثبات و یا تغییرپذیری مؤلفه‌های اقلیمی در یک بستر جغرافیایی تأثیرات متفاوتی را در مکانیسم‌ها و عملکردهای موجودات زنده در بر دارد. در این میان انسان به عنوان موجودی خونگرم بیشترین واکنش را نسبت به تغییرات اقلیمی به ویژه تغییرات دمایی نشان می‌دهد، چرا که کاهش یا افزایش یک یا دو درجه سانتی‌گراد دما ممکن است منجر به مختل شدن فعالیت‌های انسانی شود. در این راه بهره‌گیری از انرژی‌های بالقوه‌ی محیطی، منطقی‌ترین شیوه‌ی دست‌یابی به آسایش دمایی است.

با توجه به این‌که فعالیت‌های روزمره‌ی انسانی، معمولاً در دو نوع فضای باز و محصور صورت می‌گیرد، تأثیر شرایط اقلیمی نیز بر فیزیولوژی انسانی در این دو محیط متفاوت است. به گونه‌ای که در فضای آزاد عناصر مختلف اقلیمی، از قبیل دمای هوا، رطوبت، جریان هوا، تابش آفتاب و بارندگی به طور مستقیم بر انسان تأثیر می‌گذارند و تنها عامل جداکننده بدن انسان از شرایط محیطی، نوع لباس و میزان فعالیت وی می‌باشد، همچنین شرایط اقلیمی محیط‌های باز تأثیر زیادی در شرایط اقلیمی محیط داخل ساختمان دارد. بنابراین، بدیهی است که در ایجاد محیطی سالم و مناسب برای فعالیت انسان، تأمین نیازهای حرارتی انسان در هر دو نوع فضای یاد شده ضروری است.

سابقه‌ی فعالیت‌های علمی در این زمینه متعدد است از جمله کارهای انجام شده در این زمینه در سطح جهانی کار گریفیس (۱۹۷۴) نقش محیط بیرونی (فضای سبز) را در کنترل دمای فضای داخل ساختمان توضیح داده و روش‌های بروودت تبخیری را پیشنهاد کرده است.

هاوارد. گریفیلد (۱۹۷۹) به انتخاب محل ساختمان اشاره می‌کند و استفاده‌ی بهینه از بیشینه‌ی شرایط خرد اقلیم محلی را در آسایش مفید می‌داند. وی عوامل تابش، باد و جهت استقرار ساختمان را در کنترل حرارت فضای داخلی توضیح داده و راه‌حلهایی جهت استفاده از تابش خورشیدی برای گرم کردن ساختمان ارائه نموده است، (بیرقدار، ۱۳۷۷). پس از این تحقیقات در سال ۱۹۷۵ «ویکتور و آلدرا اولگی» به صورت علمی شرایط رطوبتی و حرارتی را در ارتباط با نیازهای انسان و طراحی اقلیمی مطرح نمودند و اقدام به ترسیم جدول بیوکلیماتیک نمودند. در دنباله کار الگی، «پاروچ گیونی» (۱۹۷۶) کار وی را تکمیل کرد و در آن حدود مؤثر بودن شیوه‌های ساختمان‌سازی در تأمین نیازهای رفاهی (بیوکلیماتیک) انسان را مشخص نمود و جدولی با عنوان جدول زیست - اقلیمی ساختمان فراهم نمود، (فیض و قبادیان، ۱۳۸۰)

«کارل ماهانی» نیز (۱۹۷۱) برای ارزشیابی جزئی تر شرایط بیوکلیمای ساختمانی محیط یک سری جداول تهیه کرد. «کارمونا» (۱۹۸۶)، احداث ساختمان در مناطق گرم و خشک را مورد بررسی قرار داد. و پیشنهادهای زیر را ارائه نموده است.

ساختمان‌های دو طبقه، بافت فشرده با حداکثر کمینه‌ی دریافت آفتاب، در صورت احداث برج‌های مرتفع، ساختمان‌ها باید در کنار هم و به صورت انبوه ساخته شوند.

- هدف اصلی کاهش حرارت ساختمان در تابستان باشد و کسب حرارت در زمستان در اولویت دوم قرار می‌گیرد. از برودت تبخیری در اطراف ساختمان استفاده شود. سقف‌ها بلند و آشپزخانه و حمام که حرارت‌زا هستند از اتاق‌های مسکونی جدا باشد.

- از دیوارهای ضخیم با مصالح سنگین برای ذخیره‌ی انرژی و ایجاد تعادل بین دمای بیرون و دمای فضای داخلی، دهلیز ورودی به ساختمان به صورت سرپوشیده و یا دهلیز ورودی در محوطه‌ی درخت کاری شده استفاده شود. «نئول» (۱۹۸۹)، تنش گرمایی را در سنگاپور مورد بررسی قرار داده و با توجه به باد غالب شهر پیشنهادهایی در مورد ارتفاع ساختمان‌ها ارائه کرده است. وی معتقد است احداث ساختمان‌های بلند با توجه به افزایش سرعت باد با ارتفاع، در کاهش تنش گرمایی برای ساکنان آن مفید به نظر می‌رسد. در زمینه‌ی صرفه‌جویی مصرف انرژی در ساختمان «ماکی» (۱۹۹۰)، در گزارش سازمان جهانی هواشناسی روش‌های ریاضی مناسب برای به کمینه کردن میزان سوخت‌های فسیلی با استفاده از طراحی اقلیمی ساختمان، ارائه شده است. همچنین سازمان جهانی هواشناسی در گزارش دیگری که توسط «دگری و فا ترسون» (۱۹۹۷) تنظیم شده، ارتباط بین شرایط جوی و مصرف گاز را در ساختمان‌ها مورد بررسی قرار داده و کاهش مصرف سوخت گاز را با کاربرد بهینه‌ی پتانسیل‌های اقلیمی توضیح داده است (بیرقدار، ۱۳۷۷).

در کشور ما نیز با توجه به کاهش ذخایر پایان‌پذیر نفت، آلودگی شهرها و آسیب‌های جبران‌ناپذیر سوخت‌های فسیلی به محیط زیست، توجه به اقلیم و طراحی اقلیمی از نیمه‌ی دوم دهه‌ی ۱۳۵۰ هـ ش مجدداً مورد توجه واقع گردید. از اولین کارها انجام شده در این زمینه، می‌توان به کار تحقیقاتی «مهندس عدل» (۱۳۴۹) اشاره نمود. وی با ایجاد تغییراتی در آستانه‌های حرارتی موجود در روش کوپن، شرایط اقلیمی شهرهای ایران را ارزشیابی نمود و برای اولین بار نقشه‌ی بیوکلیماتیک ایران را ارائه داد. «جمشید

ریاضی» (۱۳۵۶) با استفاده از اطلاعات اقلیمی چهل و سه ایستگاه سینوپتیک کشور نقشه‌ی تقسیمات اقلیمی را در ارتباط با کارهای ساختمانی بر اساس شاخص الگی تهیه نمود. متأسفانه چون نقش عناصر ساختمانی در کنترل شرایط حرارتی فضاها داخلی در پیشنهاد الگی مشخص نیست، کار جمشید ریاضی نتوانسته است مورد توجه کامل قرار گیرد. «مرتضی کسمایی» (۱۳۶۸) با استفاده از جداول بیوکلیمای ساختمانی و با استفاده از آمار چهل و سه ایستگاه سینوپتیک، اقلیم‌های مختلف ایران را به منظور استفاده در مسکن و معماری تهیه نموده است. ولی همچنین در سال ۱۳۷۳ با استفاده از اطلاعات اقلیمی ۵۹۱ ایستگاه هواشناسی اولین پهنه بندی اقلیمی ایران را در ارتباط با محیط‌های مسکونی با استفاده از روش ماهانی ارائه شده است که براساس آن کشور به بیست و سه گروه اقلیمی تقسیم شده است. «محمود رازجویان» (۱۳۷۶) هم در کتب آسایش به وسیله معماری همساز با اقلیم، دستورالعمل‌های مناسبی برای استفاده بهینه از پتانسیل‌های اقلیمی ارائه نموده است. «محمد رضا کاویانی» (۱۳۷۲) با استفاده از داده‌های هواشناسی چهل و هشت ایستگاه سینوپتیک به بررسی و تهیه نقشه زیست اقلیم انسانی ایران، بر اساس شاخص ترجونگ پرداخته و بیوکلیمای ایران را در ماه ژانویه به دوازده تیپ بیوکلیمایی و در ماه ژوئیه به نوزده نوع بیوکلیما تقسیم نموده است. «حسین عساکره و سعید موحدی»، (۱۳۷۶) بر اساس آمار بیست ساله ایستگاه‌های هواشناسی شهرهای مختلف خوزستان دمای موثر برای طراحی اقلیمی در مناطق شمالی و جنوبی خوزستان محاسبه کرده‌اند. در ارتباط با بهره‌گیری از خاصیت گرمایی مصالح در ارتباط با شرایط آسایش «سعید موحدی، محمد مصیبی»، (۱۳۷۵) طول روزهای موجود در محدوده‌ی آسایش، خارج از محدوده آسایش استان چهار محال و بختیاری را محاسبه و چگونگی افزایش محدوده آسایش با استفاده از مصالح مناسب را توضیح داده است. «محمد تقی رضائی حریری و مهندس ریما فیاض» (۱۳۷۹) با استفاده از داده‌های اقلیمی محدوده‌ی آسایش حرارتی را برای شهر تهران با هدف تأمین شرایط مناسب داخلی، ضمن کاهش مصرف سوخت‌های فسیلی در اوقات سرد و نیروی برق در اوقات گرم سال مورد بررسی و ارزشیابی قرار داده‌اند، می‌توان اشاره کرد.

آب و هوای شهر سقز کوهستانی و سرد و جزو آب و هوای مدیترانه‌ای محسوب می‌شود. در تقسیمات اقلیمی براساس روش آمبرژه؛ جزو اقلیم نیمه خشک سرد می‌باشد و گاتمن این منطقه را جزو اقلیم سرد استپی می‌داند.

جمع دمای ۴۵ ساله‌ی سقز (۱۹۶۱ تا ۲۰۰۵) هشتاد درجه‌ی سانتی‌گراد بوده که از این مقدار میانگین دمای ۴۵ سال حدود (۱۰/۲۵) درجه‌ی سانتی‌گراد می‌باشد. میانگین دمای بیشینه ۴۵ سال ۱۸/۳۷۵ درجه و میانگین دمای کمینه (۲/۰۲۵-) درجه است.

در این نوشتار با توجه به مشکل سرما و ماندگاری برف و یخ در فضاهای باز شهر سقز، ابتدا شرایط زیست‌اقليمی مورد بررسی قرار گرفت، سپس روش‌های مناسب طراحی معابر و حیاط برای سقز ارائه شد.

روش مطالعه

برای مطالعه‌ی شرایط زیست‌اقليمی بهینه جهت ساختمان شهر سقز، آمار مربوط به فاکتورهای اقلیمی متوسط کمینه و بیشینه‌ی دما، متوسط کمینه و بیشینه‌ی رطوبت نسبی، یخبندان، بارش، تابش و سمت و سرعت باد از ایستگاه سینوپتیک سقز در دوره‌ی آماری چهل و پنج ساله (۲۰۰۵-۱۹۶۱) جمع‌آوری شد. سپس با استفاده از شاخص‌های پدواردن و دمای مؤثر شرایط زیست‌اقليمی انسانی شهر سقز مورد ارزشیابی قرار گرفته و تیپ‌های بیوکلیماتیک حاکم در دوره‌های سرد و گرم سال مشخص گردید. در نهایت با استفاده از نرم‌افزارهای رایانه‌ای AutoCAD, SURFER اشکال و نمودارها ترسیم گردید.

مواد و روش‌ها

شاخص گیوانی

گیوانی در دهه‌ی شصت روشی را به دست آورد که کلیه‌ی اطلاعات مورد نیاز در طراحی و تعیین سیستم‌های مکانیک ساختمان نمای غیر تخصصی را به دست آورد.

در این روش خصوصیتی که یک ساختمان نیاز دارد تا هوای داخلی آن تحت تأثیر شرایط اقلیمی در منطقه‌ی آسایش قرار گیرد، در ارتباط با شرایط و تغییرات هوای پیرامون ساختمان مشخص شده است.

در این نمودار از جدول سایکرومتریک که ارتباط آسایش انسان و شرایط گرمایی محیط اطرافش را با دقت بیشتری مشخص می‌نماید، استفاده کرده است. گیوانی به منظور استفاده عملی با ترسیم منحنی‌هایی روی

جدول سایکرومتریک میزان سودمندی و حدود استفاده از تهویه‌ی طبیعی، خصوصیت مصالح ساختمانی، افزودن رطوبت به هوای داخلی، همچنین ضرورت استفاده از دستگاه‌های مکانیکی را در ارتباط با شرایط

گرمایی گوناگون هوای پیرامون ساختمان مشخص نموده و جدول به دست آمده را «جدول بیوکلیماتیک ساختمانی» نام نهاده است. نمودار ۱ در این نمودار منطقه‌های متفاوتی مشخص شده که ویژگی‌ها و سمبل آنها در جدول شماره ۱ مشخص شده، به منظور استفاده از «جدول بیوکلیماتیک» نیاز به معدل متوسط کمینه‌ی دما و بیشینه‌ی رطوبت نسبی برای وضعیت شب و معدل متوسط بیشینه‌ی دما و کمینه‌ی رطوبت نسبی برای وضعیت روز می‌باشد. بدین ترتیب با انتقال حدود تغییرات دما و رطوبت هوای هر منطقه روی «جدول بیوکلیماتیک ساختمانی» می‌توان ویژگی‌های اقلیمی آن منطقه و مفیدترین روش کنترل هوای داخلی ساختمان در آن منطقه را تعیین نمود.

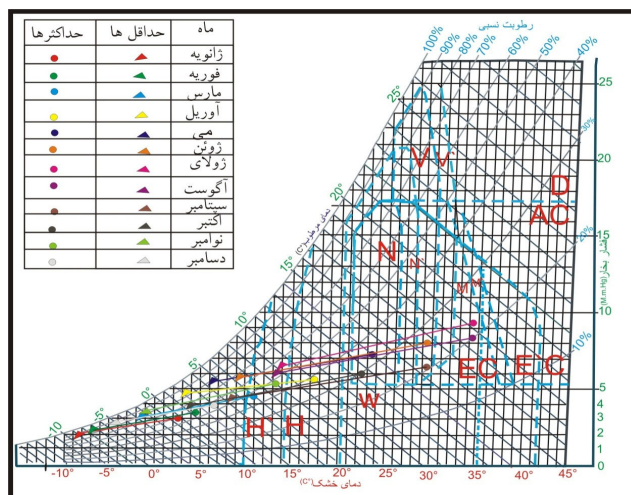
جدول شماره ۱ راهنمای سمبل‌های نمودار بیوکلیماتیک ساختمانی گیونی

مفهوم	سمبل
محدوده منطقه آسایش	N
محدوده شرایط قابل تحمل	N'
حد شرایطی که استفاده از مصالح ساختمانی مناسب یا اقلیم در ایجاد منطقه آسایش در داخل ساختمان مؤثر است	M
حد شرایط قابل تحمل در صورت استفاده از مصالح مناسب یا اقلیم	M'
حد استفاده از گوران در ساختمان‌های معمولی	V
حد استفاده از گوران در ساختمان‌های معمولی	V'
حد استفاده از گوران در ساختمان‌هایی که برای طراحی از تهویه مطبوع طراحی شده‌اند	H
حد تأثیر مصالح در گرم نمودن ساختمان	H'
حد استفاده از مصالح مناسب یا اقلیم در گرم نمودن ساختمان	EC
حد استفاده از گولر آبی در ساختمان‌هایی با عایق‌کاری مناسب	EC'
حدود شرایطی که تنها از تهویه مطبوع مؤثر است	AC
محدوده که علاوه بر استفاده از تهویه مطبوع به دستگاه رطوبت‌گیر نیز احتیاج است	D
محدوده که در آن به دستگاه رطوبت‌زن احتیاج است	W
محدوده استفاده از وسایل گرمازا	S

برای تعیین خصوصیات کالبدی ساختمان، از جدول بیوکلیماتیک استفاده شد. نمودار جدول بیوکلیماتیک ساختمانی سقز را نشان می‌دهد. در این شکل حدود تغییرات شرایط حرارتی هر یک از ماه‌های سال به صورت خطی که ابتدای آن دایره‌ای با مختصات متوسط بیشینه‌ی دما + کمینه‌ی رطوبت نسبی هوا و انتهای آن مثلی با مختصات متوسط کمینه‌ی + بیشینه‌ی رطوبت نسبی هوا می‌باشد، مشخص شده است.

همان‌گونه که در شکل مشاهده می‌شود در روزهای دو ماه از سال (ژولای و آگوست) در محدوده M قرار گرفتند. این محدوده بیانگر شرایطی است که استفاده از مصالح ساختمانی مناسب با اقلیم منطقه، در داخل ساختمان آسایش ایجاد می‌شود. در ماه‌های ژوئن و سپتامبر در روز در منطقه V قرار گرفتند، که این محدوده بیانگر شرایطی است، که در آن آسایش نامطلوب می‌باشد و استفاده از جریان هوا در محیط‌های مسکونی می‌تواند شرایط ایجاد شده را تا حد امکان به شرایط مطلوب آسایش تعدیل دهد. در روزهای ماه‌های می و اکتبر منطقه در محدوده‌ی N قرار گرفتند، که این محدوده بیانگر شرایطی است که در آن، افراد در حال استراحت یا در حال فعالیت نشسته احساس آسایش می‌نمایند. در ماه‌های مارس، آوریل، ژولای، نوامبر و دسامبر، باتوجه به این که در این ماه‌ها در محدوده H و منطقه گسترش آن H' واقع شده‌اند، به دلیل استفاده از حرارت داخلی جهت رسیدن به آسایش به سیستم‌های گرمایش مکانیکی نیازی ندارند و در این محدوده استفاده از گرمای خورشیدی مطبوع بوده و بهره‌گیری از مصالح مناسب کمک شایان توجهی به شرایط آسایش می‌نماید. ماه‌های مارس، آوریل، می، ژوئن، سپتامبر، اکتبر و دسامبر در طول شب و ماه‌های ژانویه و فوریه در طول شبانه روز در موقعیت S بر روی نمودار واقع شدند، که نشان دهنده‌ی شرایط نامطلوب (بسیار سرد) آسایشی در مواقع بالاست و استفاده از وسایل گرمازا در محیط‌های مسکونی تنها راه رسیدن به حد شرایط آسایش مطلوب می‌باشد. در مجموع نمودار بیوکلیماتیک ساختمانی سقز نشان می‌دهد که هوای ساختمان‌ها در دوره سرد سال دارای مشکل هستند. در این مواقع آسایش نسبی ساکنان ساختمان، استفاده از سیستم‌های گرمایش مکانیکی را ضروری می‌سازد. در حالت بین دو دوره گرم و سرد می‌توان با استفاده از سیستم‌های غیر فعال خورشیدی و مصالح مناسب مواقع سرد روز را قابل تحمل ساخت.

نمودار ۱ وضعیت آسایش در داخل ساختمان در شهر سقز در نمودار زیست- اقلیمی ساختمان دایره‌ها وضعیت روزها و مثلث‌ها وضعیت آسایش شب‌ها را نشان می‌دهند.



نیازهای حرارتی ساختمان در سقز

به منظور محاسبه نیازهای حرارتی ساختمان نیز از روش ترسیم منحنی‌های هم‌دمای آستانه‌های حرارتی استفاده شده است. بدین منظور با استفاده از تغییرات دو ساعته دمای هر ماه جدول ۲ سپس محدوده‌های مشخص شده در جدول بیوکلیماتیک ساختمان سقز، به صورت منحنی هم‌دما ترسیم شده‌اند (نمودار ۲). با استفاده از نمودار مزبور می‌توان در صد سالانه نیازهای حرارتی ساختمان در سقز را تعیین کرد و نحوه‌ی پاسخ‌گویی به این نیازها را مشخص نمود. آستانه‌های حرارتی فضاهای داخلی ساختمان در سقز به شرح زیراند:

دمای ۳ درجه: حد بالای نیاز به گرمایش مکانیکی؛

دمای ۷ درجه: حد پایین شرایط مناسب در بهره‌گیری از انرژی خورشیدی به صورت غیر فعال؛

دمای ۱۴ درجه: حد پایین آسایش در فضاهای محصور یا امکان استفاده از حرارت داخلی در گرمایش ساختمان؛

دمای ۱۸ درجه: حد پایین منطقه آسایش در فضاهای داخلی واقع در سایه؛

دمای ۲۱ درجه: حد بالای منطقه آسایش در فضاهای داخلی واقع در سایه.

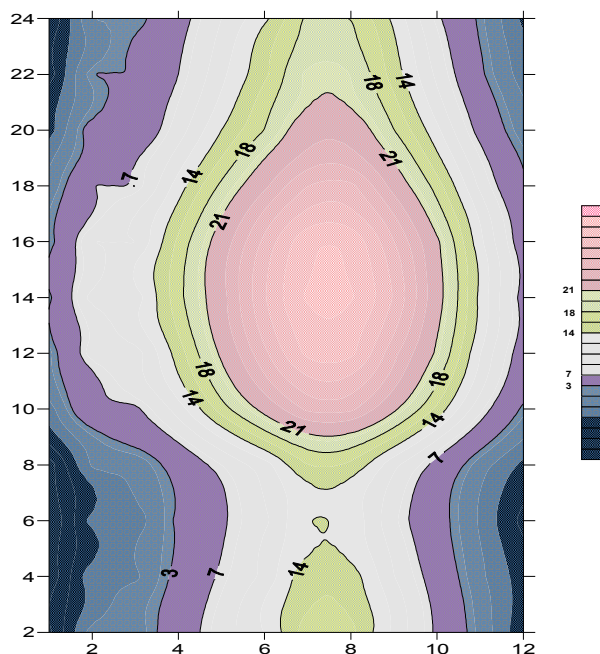
با توجه به نمودار مورد نظر مشخص می‌گردد که:

۱. نیاز به گرمایش مکانیکی ۴۳/۷ درصد از کل سال است؛
 ۲. امکان بهره‌گیری از انرژی خورشیدی ۲۰/۸ درصد از کل سال است؛
 ۳. شرایط آسایش در فضاهای بسته ۱۰/۴ درصد از کل سال است؛
 ۴. شرایط آسایش کامل ۱۱/۱ درصد از کل سال است؛
 ۵. امکان بهره‌گیری از مصالح سنگین ساختمانی ۹/۲۰ درصد از کل سال است.
- با توجه به نتایج به دست آمده برای ایستگاه سقز، مشخص شد که شرایط آسایش در منطقه چیزی حدود ۴۳/۷ از کل سال در شرایط نامطلوب (خیلی سرد) قرار می‌گیرد و نیاز به استفاده از وسایل گرمازا دارد، همچنین شرایط آسایش مطلوب کامل در طول سال از میزان بسیار کمی برخوردار است. که در صورت بهره‌گیری از شرایط مطلوب محیطی (انرژی خورشیدی و مصالح مناسب، کاهش اتلاف گرما) امکان افزایش شرایط آسایش مطلوب در منطقه تا حدود ۵۶/۳ در طول سال وجود دارد.

جدول شماره ۲ تغییرات دمای ساعتی سقز در فواصل زمانی دو ساعته

ساعت	ژانویه	فوریه	مارس	آوریل	می	ژوئن	ژوئیه	اگوست	سپتامبر	اکتبر	نوامبر	دسامبر
۰	-۵	-۳	۱/۵	۶/۵	۹	۱۳	۱۶	۱۵/۵	۱۱/۵	۸	۳	-۱/۸
۲	-۵/۷	-۴	۱	۵/۵	۸	۱۲/۲	۱۵	۱۶/۵	۱۰/۵	۷	۲	-۲/۵
۴	-۶/۸	-۵	۰	۴/۸	۷	۱۱	۱۴	۱۳/۵	۹/۵	۶	۱	-۳/۲
۶	-۷	-۵/۶	-۰/۴	۴	۶/۸	۹/۵	۱۳/۲	۱۲/۷	۸/۶	۵/۱	۰/۵	-۳/۷
۸	-۶	-۴/۲	۰/۵	۵	۷/۸	۱۲	۱۶/۸	۱۴	۱۰	۶/۵	۱/۵	-۲/۸
۱۰	-۱	۱	۵	۱۱	۱۴	۱۸	۲۱	۲۱	۱۷/۲	۱۳	۷/۵	۲/۵
۱۲	۲/۲	۴	۷/۲	۱۴	۱۷/۸	۲۲	۲۵	۲۶/۵	۲۱/۵	۱۶/۸	۱۱	۵/۵
۱۴	۳/۷	۵/۶	۸/۸	۱۵/۵	۱۹/۶	۲۳/۷	۲۶/۸	۲۶/۴	۲۳/۴	۱۸/۷	۱۲/۶	۶/۷
۱۶	۳	۴/۸	۷/۸	۱۴/۸	۱۸/۵	۲۲/۵	۲۵/۵	۲۶/۷	۲۲/۲	۱۷/۵	۱۱/۸	۶
۱۸	۰/۵	۲	۶	۱۲	۱۵/۲	۱۹/۵	۲۲/۵	۲۲/۲	۱۹	۱۶/۵	۹	۳/۵
۲۰	-۲/۵	-۱	۳/۵	۹	۱۲	۱۶	۱۹	۱۸/۷	۱۵	۱۱	۵/۵	۰/۸
۲۲	-۴	-۲	۲/۵	۸	۱۰	۱۶/۵	۱۷/۵	۱۷	۱۳	۹/۱	۴	-۰/۵
۲۴	-۵	-۳	۱/۵	۶/۵	۹	۱۳	۱۶	۱۵/۵	۱۱/۵	۸	۳	-۱/۸

نمودار ۲. نیاز حرارتی داخل ساختمان سقز



جهت استقرار ساختمان و تابش آفتاب

همان‌گونه که فصول مختلف سال در نتیجه‌ی تغییر محور زمین نسبت به خورشید از یکدیگر متمایز هستند، جهت استقرار یک ساختمان نیز تحت تأثیر مقدار انرژی خورشیدی تابیده شده به دیوارهای آن در ساعات مختلف، تغییر می‌کند. اهمیت تابش آفتاب در طراحی اقلیمی به نوع اقلیم منطقه و فصول سال بستگی دارد. در شرایط سرد بیشینه‌ی انرژی خورشیدی مورد نیاز بوده و ساختمان باید در جهتی قرار گیرد که بیشترین تابش آفتاب را دریافت نماید. در شرایط کم نیز باید جهت ساختمان باید به گونه‌ای باشد که شدت تابش آفتاب بر دیوارهای آن به کمینه شده و امکان نفوذ مستقیم اشعه‌ی خورشید به فضاهای داخلی وجود نداشته باشد. (البته باید به این نکته اساسی توجه داشت که میزان تأثیر جهت استقرار ساختمان در شرایط گرمایی هوای داخلی آن به خصوصیات طرح و نوع ساختمان بستگی دارد و چه بسا با انتخاب سطوح خارجی تیره تأثیر جهت به حد بیشینه‌ی خود برسد. چرا که سطح سفید کل انرژی دریافتی مستقیم را منعکس می‌کند. بنابراین بحث درباره‌ی جهت قرارگیری ساختمان، بدون در نظر گرفتن رنگ سطح خارجی بی معنی است. پس نتیجه می‌-

گیریم که با استفاده از رنگ‌های مختلف در سطوح خارجی دیوارهای یک ساختمان می‌توان اثرات گرمایی تابش آفتاب در هوای داخل آن را کنترل نمود. (

در شهر سقز نیز باتوجه به اهمیت کسب بیشینه انرژی خورشیدی، ساختمان باید به گونه‌ای طراحی شود که در مواقع سرد سال بیشینه انرژی به نمای اصلی ساختمان بتابد.

برای محاسبه انرژی حرارتی خورشیدی حاصل در سطوح مختلف، روش نمودار الگی (دیگرام) و روش‌های محاسباتی مختلفی وجود دارد که در این پژوهش از روش محاسباتی زیر استفاده شد. این روش، به روش محاسباتی قانون کسینوس معروف می‌باشد (فیض و قبادیان، ۱۳۸۰).

$$I_s = I_N \cos \theta$$

در رابطه‌ی بالا:

I_s = شدت تابش بر روی سطح؛

I_N = شدت تابش خورشید روی سطح عمود بر پرتوی خورشید؛

θ = زاویه میان شعاع خورشید و خط عمود بر سطح.

در رابطه بالا مقدار I_N از طریق فرمول زیر محاسبه می‌شود که توسط استیفنسو پیشنهاد شده است (کسمایی، ۱۳۷۸).

$$I_{DN} = I^0 \exp(-a / \sinh)$$

در این رابطه:

I_{DN} = حرارت حاصل از تابش مستقیم و عمودی آفتاب؛

I^0 = ثابت خورشیدی؛

a = ضریب خاموشی؛

h = زاویه تابش خورشید.

همچنین θ زاویه تلاقی میان خورشید و خط عمود بر یک سطح عمودی (دیوار) است که به وسیله معادله‌ی کسینوس کروی معین می‌گردد. (Watson & Labs, 1983).

$$\cos(\theta) = \cos(B)(\cos(\psi) - \cos(\phi))$$

1. Extinction Coefficient

در این رابطه:

$$B = \text{زاویه‌ی تابش}$$

$$\emptyset = \text{زاویه‌ی جهت تابش}$$

$\psi = \text{زاویه‌ی جهت دیوار که در مسیر عقربه‌های ساعت از طرف شمال و بر حسب درجه اندازه‌گیری می‌شود.}$

بدین وسیله با استفاده از فرمول‌های ذکر شده، مقدار انرژی دریافتی از خورشید در سطح قائم برای ماههای مختلف و در

۲۴ جهت جغرافیایی برای شهر سقز محاسبه گردید.^(۱)

جدول ۳. کل میزان انرژی تابیده شده در سطوح قائم برای کل مواقع سال و ماههای مختلف آن نشان می‌دهند.

جدول ۳- میزان انرژی دریافتی در سطوح قائم سقز (ساعات نظری)

دسامبر	نوامبر	اکتبر	سپتامبر	آگوست	ژولای	ژوئن	می	آوریل	مارس	فوریه	ژانویه	
												شمال
		۲۲/۳	۷۷/۴	۸۶/۳	۷۷/۸	۸۵/۱	۷۳	۱۴/۸				+۱۵
۳/۷	۱۶/۸	۹۸/۵	۲۳۱/۵	۲۴۹	۲۶۹/۲	۲۶۸/۵	۲۱۹/۴	۹۱/۴	۱۸/۶	۰/۲۶	۰/۸۹	+۳۰
۲۸/۹	۱۰۷/۱	۲۲۱/۲	۴۱۸/۸	۴۷۳/۳	۴۶۶/۷	۴۶۰/۲	۳۹۵/۸	۲۲۹/۷	۱۰۷/۳	۳۰/۹	۲۴/۱	+۴۵
۱۳۴/۸	۲۵۸/۷	۳۰۷/۳	۶۰۰/۶	۶۵۹/۵	۶۵۰/۸	۶۷۰/۶	۵۶۵/۱	۴۰۴	۱۶۴	۱۳۷/۹	۱۱۰/۱	+۶۰
۲۹۸/۷	۴۴۸/۱	۵۲۰	۷۷۷/۱	۸۰۷/۳	۷۹۰/۵	۷۸۳/۹	۷۲۶/۲	۵۸۳/۲	۴۳۶/۱	۳۰۱/۱	۲۶۵/۵	+۷۵
۵۰۳	۶۵۲/۳	۶۴۸/۶	۹۰۰/۶	۹۰۰	۸۷۶/۳	۸۷۳/۳	۸۳۷/۹	۷۴۱/۵	۶۳۰/۹	۳۸۵/۶	۴۶۶/۹	شرق
۷۳۸/۲	۸۷۲/۱	۷۶۹/۵	۱۰۴۵/۳	۹۵۰	۹۱۹	۹۲۴/۲	۹۶۱/۹	۸۹۳/۹	۸۴۰/۲	۷۳۳/۸	۷۰۲/۳	+۱۰۵
۹۸۲/۸	۱۰۷۷/۸	۸۵۸/۱	۱۰۳۵/۵	۹۴۱/۴	۸۹۹	۹۰۷	۹۴۶/۱	۱۰۰۴/۴	۸۲۰/۶	۹۷۳	۹۵۴	+۱۲۰
۱۲۲۸/۲	۱۳۶۵/۵	۹۰۳/۲	۱۰۱۹/۷	۸۷۲/۱	۸۱۸	۸۴۳/۴	۹۰۴/۷	۱۰۷۸/۹	۱۰۷۶/۷	۱۲۱۱/۶	۱۲۱۷/۶	+۱۳۵
۱۴۷۰/۳	۱۲۹۰/۴	۹۳۲/۶	۹۶۷/۴	۷۳۶/۶	۶۹۹/۳	۷۲۷/۹	۹۱۶/۶	۱۱۳۱/۵	۱۳۷۱	۱۴۴۶/۷	۱۴۷۲/۶	+۱۵۰
۱۶۴۸/۱	۱۵۸۱/۴	۹۵۴/۸	۸۷۵/۳	۶۳۰/۷	۵۵۷/۷	۶۱۰/۳	۸۰۹/۲	۱۱۵۶/۲	۱۴۸۰/۱	۱۵۱۳/۳	۱۶۳۰/۳	+۱۶۵
۱۸۲۹/۵	۱۶۳۸/۲	۱۱۱۳/۱	۸۴۹/۸	۵۶۳/۶	۴۳۶/۷	۵۴۱/۸	۷۶۲	۱۲۰۰/۹	۱۵۵۷/۷	۱۶۷۰/۳	۱۶۸۷/۵	جنوب
۱۲۲۸/۲	۱۳۶۵/۵	۹۰۳/۲	۱۰۱۹/۷	۸۷۲/۱	۸۱۸	۸۴۳/۴	۹۰۴/۷	۱۰۷۸/۹	۱۰۷۶/۷	۱۲۱۱/۶	۱۲۱۷/۶	-۱۳۵
۹۸۲/۸	۱۰۷۷/۸	۸۵۸/۱	۱۰۳۵/۵	۹۴۱/۴	۸۹۹	۹۰۷	۹۴۶/۱	۱۰۰۴/۴	۸۲۰/۶	۹۷۳	۹۵۴	-۱۲۰
۷۳۸/۲	۸۷۲/۱	۷۶۹/۵	۱۰۴۵/۳	۹۵۰	۹۱۹	۹۲۴/۲	۹۶۱/۹	۸۹۳/۹	۸۴۰/۲	۷۳۳/۸	۷۰۲/۳	-۱۰۵
۵۰۳	۶۵۲/۳	۶۴۸/۶	۹۰۰/۶	۹۰۰	۸۷۶/۳	۸۷۳/۳	۸۳۷/۹	۷۴۱/۵	۶۳۰/۹	۳۸۵/۶	۴۶۶/۹	غرب
۲۹۸/۷	۴۴۸/۱	۵۲۰	۷۷۷/۱	۸۰۷/۳	۷۹۰/۵	۷۸۳/۹	۷۲۶/۲	۵۸۳/۲	۴۳۶/۱	۳۰۱/۱	۲۶۵/۵	-۷۵
۱۳۴/۸	۲۵۸/۷	۳۰۷/۳	۶۰۰/۶	۶۵۹/۵	۶۵۰/۸	۶۷۰/۶	۵۶۵/۱	۴۰۴	۱۶۴	۱۳۷/۹	۱۱۰/۱	-۶۰
۲۸/۹	۱۰۷/۱	۲۲۱/۲	۴۱۸/۸	۴۷۳/۳	۴۶۶/۷	۴۶۰/۲	۳۹۵/۸	۲۲۹/۷	۱۰۷/۳	۳۰/۹	۲۴/۱	-۴۵
۳/۷	۱۶/۸	۹۸/۵	۲۳۱/۵	۲۴۹	۲۶۹/۲	۲۶۸/۵	۲۱۹/۴	۹۱/۴	۱۸/۶	۰/۲۶	۰/۸۹	-۳۰
		۲۲/۳	۷۷/۴	۸۶/۳	۷۷/۸	۸۵/۱	۷۳	۱۴/۸				-۱۵

جدول ۴ میزان انرژی دریافتی سقز برای مواقع سرد سال (ساعات نظری)

دسامبر	نوامبر	اکتبر	سپتامبر	آگوست	ژولای	ژوئن	می	آوریل	مارس	فوریه	ژانویه	
												شمال
		۲۲٫۳	۷۷٫۴	۸۶٫۳	۷۷٫۸	۸۵٫۱	۷۳	۱۴٫۸				+۱۵
۳٫۷	۱۶٫۸	۹۸٫۵	۲۳۱٫۵	۲۳۶٫۹	۲۴۴	۲۵۵٫۶	۱۸۶٫۶	۹۱٫۴	۱۸٫۶	۰٫۲۶	۰٫۸۹	+۲۰
۲۸٫۹	۱۰۷٫۱	۲۲۱٫۳	۴۱۸٫۸	۴۲۴٫۳	۴۰۳٫۹	۴۱۱٫۵	۲۸۷٫۴	۲۲۹٫۷	۱۰۷٫۳	۳۰٫۹	۲۴٫۱	+۴۵
۱۳۳٫۸	۲۵۸٫۷	۳۰۷٫۳	۵۹۸	۵۵۶٫۵	۵۳۶٫۲	۵۶۸٫۹	۳۶۸٫۶	۴۰۴	۱۶۴	۱۳۷٫۹	۱۱۰٫۱	+۶۰
۲۹۸٫۷	۴۴۸٫۱	۵۲۰	۷۳۶٫۵	۶۵۰٫۸	۵۳۲	۶۰۳٫۵	۴۲۴٫۷	۵۸۳٫۲	۴۳۶٫۱	۳۰۱٫۱	۲۶۵٫۵	+۷۵
۵۰۲	۶۵۲٫۳	۶۴۸٫۶	۸۲۴٫۸	۷۰۰٫۸	۶۴۴٫۷	۶۷۸٫۵	۴۵۱٫۹	۷۴۱٫۵	۶۳۰٫۹	۳۸۵٫۶	۴۶۶٫۹	شرق
۷۳۸٫۲	۸۷۲٫۱	۷۶۹٫۵	۸۵۶٫۵	۶۹۹٫۹	۶۹۰٫۷	۶۸۰٫۵	۹۶۱٫۹	۸۹۶٫۹	۸۴۰٫۲	۷۳۳٫۸	۷۰۲٫۳	+۱۰۵
۹۸۳٫۸	۱۰۷۷٫۸	۸۵۸٫۱	۸۳۰٫۶	۶۵۷٫۳	۶۴۹٫۶	۶۳۰٫۹	۹۴۶٫۲	۱۰۰۴٫۴	۸۲۰٫۶	۹۷۳	۹۵۴	+۱۲۰
۱۲۸۸٫۲	۱۲۶۵٫۵	۸۹۹٫۹	۷۴۷٫۶	۵۶۶٫۷	۵۶۵٫۲	۵۴۸٫۲	۸۷۴٫۳	۱۰۷۸٫۹	۱۰۷۶٫۷	۱۲۱۱٫۶	۱۲۱۷٫۶	+۱۳۵
۱۴۷۰٫۳	۱۲۹۰٫۴	۸۸۹٫۲	۶۱۳٫۶	۴۳۷٫۶	۴۴۰٫۷	۴۲۳	۸۳۸	۱۱۳۱٫۵	۱۳۷۱	۱۴۴۶٫۷	۱۴۷۲٫۶	+۱۵۰
۱۶۴۸٫۱	۱۵۸۱٫۴	۸۷۲٫۳	۴۱۵٫۱	۲۷۸٫۶	۲۸۱٫۹	۲۶۸٫۹	۶۴۸٫۸	۱۱۵۶٫۲	۱۴۸۰٫۱	۱۵۱۳٫۳	۱۶۳۰٫۳	+۱۶۵
۱۸۹۸٫۵	۱۶۳۸٫۲	۹۹۸٫۲	۲۲۲٫۴	۱۰۰٫۷	۱۱۳٫۵	۹۶٫۵	۳۷۴۸	۱۲۰۰٫۹	۱۵۵۷٫۷	۱۶۷۰٫۳	۱۶۸۷٫۵	جنوب
۱۶۴۸٫۱	۱۵۸۱٫۴	۸۲٫۴	۸۸٫۵	۲٫۲	۱۰٫۳	۲٫۸	۱۶۶٫۳	۱۱۵۶٫۲	۱۴۸۰٫۱	۱۵۱۳٫۳	۱۶۳۰٫۳	-۱۶۵
۱۴۷۰٫۳	۱۲۹۰٫۴	۴۴٫۴	۲۰٫۵				۷۸٫۵	۱۱۳۱٫۵	۱۳۷۱	۱۴۴۶٫۷	۱۴۷۲٫۶	-۱۵۰
۱۲۸۸٫۲	۱۲۶۵٫۵	۲۲٫۳					۳۰٫۳	۱۰۷۸٫۹	۱۰۷۶٫۷	۱۲۱۱٫۶	۱۲۱۷٫۶	-۱۳۵
۹۸۳٫۸	۱۰۷۷٫۸							۱۰۰۴٫۴	۸۲۰٫۶	۹۷۳	۹۵۴	-۱۲۰
۷۳۸٫۲	۸۷۲٫۱							۸۹۶٫۹	۸۴۰٫۲	۷۳۳٫۸	۷۰۲٫۳	-۱۰۵
۵۰۲	۶۵۲٫۳							۷۴۱٫۵	۶۳۰٫۹	۳۸۵٫۶	۴۶۶٫۹	غرب
۲۹۸٫۷	۴۴۸٫۱							۵۸۳٫۲	۴۳۶٫۱	۳۰۱٫۱	۲۶۵٫۵	-۷۵
۱۳۳٫۸	۲۵۸٫۷							۴۰۴	۱۶۴	۱۳۷٫۹	۱۱۰٫۱	-۶۰
۲۸٫۹	۱۰۷٫۱							۲۲۹٫۷	۱۰۷٫۳	۳۰٫۹	۲۴٫۱	-۴۵
۳٫۷	۱۶٫۸							۹۱٫۴	۱۸٫۶	۰٫۲۶	۰٫۸۹	-۲۰
								۱۴٫۸				-۱۵

البته باید به این نکته توجه نمود، مقادیر ثبت شده در این جدول مقادیر نظری انرژی خورشیدی هستند، و مقدار واقعی انرژی خورشیدی تاییده شده بر سطوح مختلف را تنها از طریق نصب سن سورها (دستگاه اندازه گیری) در محل می توان به دست آورد. برای تعیین مقدار نزدیک به واقع انرژی خورشیدی با استفاده از آمار ساعات آفتابی ایستگاه هواشناسی سینوپتیک سقز و سپس از تقسیم آن به طول روز در هر ماه درصد ساعات آفتابی آن ماه به دست آمد. (جدول ۵) سپس از حاصل ضرب مقادیر نظری انرژی خورشیدی هر ماه درصد ساعات آفتابی ماه مورد نظر، مقدار نزدیک به واقع انرژی خورشیدی به دست آمد و در جدول ۷ درج گردید.

جدول ۵ درصد ساعات آفتابی در سقز

دسامبر	نوامبر	اکتبر	سپتامبر	آگوست	ژولای	ژوئن	می	آوریل	مارس	فوریه	ژانویه	
۲۹۶/۵	۳۳۳	۳۷۲	۳۹۸	۴۴۳	۴۴۸	۴۲۸/۴	۴۱۱	۳۷۲	۳۴۴	۲۹۶	۲۸۵	طول روز در عرض جغرافیایی سقز
۱۳۳/۴	۱۷۴/۱	۲۵۴/۳	۳۱۱/۱	۳۴۴/۳	۳۵۷/۴	۳۴۵	۲۸۷/۳	۲۱۳/۱	۱۷۷/۴	۱۴۲/۲	۱۲۱/۵	ساعات آفتابی
۰/۴۲	۰/۵۲	۰/۶۸	۰/۷۸	۰/۷۸	۰/۸۰	۰/۸۰	۰/۷۰	۰/۵۷	۰/۵۲	۰/۴۸	۰/۴۳	درصد ساعات آفتابی

جدول ۱۶ میزان انرژی دریافتی در سطوح قائم سقز برای دوره گرم سال (ساعات نظری)

دسامبر	نوامبر	اکتبر	سپتامبر	آگوست	ژوئیه	ژوئن	مئ	آوریل	مارس	فوریه	ژانویه	شمال
												+۱۵
				۱۲/۱	۲۴/۵	۱۲/۹	۲۲/۸					+۳۰
				۴۹	۶۲/۸	۴۸/۶	۱۰۸/۳					+۴۵
			۲/۵	۱۰۲	۱۱۴/۵	۱۰۱/۷	۱۹۶/۴					+۶۰
			۴۰/۵	۱۵۶/۵	۲۵۸/۴	۱۸۰/۴	۳۰۱/۵					+۷۵
			۷۵/۸	۱۹۹/۲	۱۹۱/۶	۱۹۴/۷	۳۸۶					شرق
				۱۸۸/۸	۲۵۰/۱	۲۲۸/۳	۲۴۳/۶					+۱۰۵
				۱۹۴/۹	۲۸۴/۱	۲۴۹/۴	۲۷۶					+۱۲۰
			۳/۳	۲۷۲/۱	۳۰۵/۴	۲۵۲/۸	۲۹۵/۲	۳۰/۴				+۱۳۵
			۴۴/۴	۳۵۳/۸	۲۹۸/۵	۲۵۸/۶	۳۱۴/۹	۷۸/۶				+۱۵۰
			۸۲/۴	۴۶۰/۱	۳۵۲/۱	۲۷۰/۸	۳۴۱/۳	۱۶۶/۴				+۱۶۵
			۱۱۴/۹	۶۱۷/۳	۴۶۳/۹	۳۳۳/۲	۴۴۵/۲	۱۴/۱				جنوب
			۸۶۳/۳	۷۸۶/۷	۶۶۸/۵	۵۴۷/۴	۶۰۷/۴	۶۴۶/۸				-۱۶۵
			۸۸۹/۲	۹۴۶/۹	۷۳۶/۱	۶۹۹/۳	۷۳۷/۹	۸۳۷				-۱۵۰
			۸۹۹/۸	۱۰۱۹/۷	۸۷۲/۱	۸۱۸	۸۴۳/۴	۸۷۴/۳				-۱۳۵
			۸۵۸/۱	۱۰۲۵/۵	۹۴۱/۴	۸۹۹	۹۰۷	۹۴۶/۱				-۱۲۰
			۷۹۶/۵	۱۰۴۵/۳	۹۵۰	۹۱۹	۹۲۴/۲	۹۶۱/۹				-۱۰۵
			۶۴۸/۶	۹۰۰/۶	۹۰۰	۸۷۶/۳	۸۷۳/۳	۸۳۷/۹				غرب
			۵۲۰	۷۷۷/۱	۸۰۷/۳	۷۹۰/۵	۷۸۳/۹	۷۳۶/۲				-۷۵
			۳۰۷/۳	۶۰۰/۶	۶۵۹/۵	۶۵۰/۸	۶۷۰/۶	۵۶۵/۱				-۶۰
			۲۳۱/۳	۴۱۸/۸	۴۷۳/۳	۴۶۶/۷	۴۶۰/۲	۳۹۵/۸				-۴۵
			۹۸/۵	۲۳۱/۵	۲۴۹	۲۶۹/۲	۲۶۸/۵	۲۱۹/۴				-۳۰
			۲۳/۳	۷۷/۴	۸۶/۳	۷۷/۸	۸۵/۱	۷۳				-۱۵

جدول ۱۷ میزان انرژی دریافتی در سطوح قائم سقز (ساعات آفتابی)

دسامبر	نوامبر	اکتبر	سپتامبر	آگوست	ژوئیه	ژوئن	مئ	آوریل	مارس	فوریه	ژانویه	شمال
												+۱۵
			۱۵/۸	۶۰/۴	۶۷/۳	۶۲/۲	۶۸/۱	۵۱/۱	۸/۴			+۳۰
۱/۵	۸/۷	۶۶/۹	۱۸۰/۶	۱۹۴/۲	۲۱۵/۴	۲۱۴/۸	۱۵۳/۶	۵۲	۹/۶	۰/۱۲	۰/۳۸	+۴۵
۱۲/۱	۵۵/۷	۱۵۰/۴	۳۲۶/۷	۳۶۹/۲	۳۷۳/۴	۳۶۸/۱	۲۷۷	۱۳۰/۹	۵۵/۸	۱۴/۸	۱۰/۴	+۶۰
۵۶/۲	۱۳۴/۵	۲۰۹	۴۶۸/۵	۵۱۴/۴	۵۲۰/۶	۵۳۶/۴	۳۹۵/۵	۲۳۰/۳	۸۵/۳	۶۶/۲	۴۷/۴	+۷۵
۱۲۵/۵	۲۲۲	۳۵۳/۶	۶۰۶/۱	۶۲۹/۷	۶۳۲/۴	۶۲۷/۲	۵۰۸/۴	۳۳۲/۴	۲۲۶/۷	۱۴۴/۵	۱۱۴	شرق
۲۱۱/۳	۳۲۹/۲	۴۴۱	۷۰۳/۵	۷۰۲	۷۰۱	۶۹۸/۶	۵۸۶/۵	۴۲۲/۶	۳۲۸	۱۸۵	۲۰۰/۷	+۱۰۵
۳۱۰	۴۵۳/۵	۵۲۳/۳	۸۱۵/۳	۷۴۱	۷۳۵/۲	۷۳۹/۳	۶۷۳/۳	۵۰۹/۵	۴۳۶/۹	۳۵۲/۲	۳۰۲	+۱۲۰
۴۱۲/۸	۵۶۰	۵۸۳/۵	۷۹۹/۹	۷۳۴/۳	۷۱۹/۲	۷۲۵/۶	۶۲۲/۳	۵۷۲/۵	۴۲۶/۷	۴۷	۴۱۰/۲	+۱۳۵
۵۱۵/۸	۶۵۸	۶۱۴/۱	۷۹۵/۳	۶۸۰/۳	۶۵۴/۴	۶۷۴/۷	۶۲۳/۳	۶۱۵	۵۹۹/۹	۵۸۱/۵	۵۲۲/۵	+۱۵۰
۶۱۷/۵	۷۲۳	۶۳۴/۸	۷۵۴/۵	۵۷۴/۱	۵۵۹/۴	۵۹۰/۴	۶۴۱/۶	۶۴۴/۹	۷۱۳/۹	۶۹۴/۴	۶۳۳/۲	+۱۶۵
۶۹۲/۲	۷۲۲/۳	۶۴۹/۲	۶۸۲/۷	۴۹۲	۴۴۶/۱	۴۸۸/۲	۵۶۶/۴	۶۶	۷۶۹/۶	۷۲۶/۳	۷۰۱	جنوب
۷۸۸/۴	۸۵۱/۹	۷۵۶/۹	۶۶۶/۸	۴۲۹/۶	۲۴۹/۳	۴۳۳/۵	۵۳۳/۴	۶۸۴/۵	۸۰۹/۷	۸۰۱/۷	۷۲۵/۶	-۱۶۵
۶۹۲/۲	۷۲۲/۳	۶۴۹/۲	۶۸۲/۷	۴۹۲	۴۴۶/۱	۴۸۸/۲	۵۶۶/۴	۶۶	۷۶۹/۶	۷۲۶/۳	۷۰۱	-۱۵۰
۶۱۷/۵	۷۲۳	۶۳۴/۸	۷۵۴/۵	۵۷۴/۱	۵۵۹/۴	۵۹۰/۴	۶۴۱/۶	۶۴۴/۹	۷۱۳/۹	۶۹۴/۴	۶۳۳/۲	-۱۳۵
۵۱۵/۸	۶۵۸	۶۱۴/۱	۷۹۵/۳	۶۸۰/۳	۶۵۴/۴	۶۷۴/۷	۶۲۳/۳	۶۱۵	۵۹۹/۹	۵۸۱/۵	۵۲۲/۵	-۱۲۰
۴۱۲/۸	۵۶۰	۵۸۳/۵	۷۹۹/۹	۷۳۴/۳	۷۱۹/۲	۷۲۵/۶	۶۲۲/۳	۵۷۲/۵	۴۲۶/۷	۴۷	۴۱۰/۲	-۱۰۵
۳۱۰	۴۵۳/۵	۵۲۳/۳	۸۱۵/۳	۷۴۱	۷۳۵/۲	۷۳۹/۳	۶۷۳/۳	۵۰۹/۵	۴۳۶/۹	۳۵۲/۲	۳۰۲	غرب
۲۱۱/۳	۳۲۹/۲	۴۴۱	۷۰۳/۵	۷۰۲	۷۰۱	۶۹۸/۶	۵۸۶/۵	۴۲۲/۶	۳۲۸	۱۸۵	۲۰۰/۷	-۷۵
۱۲۵/۵	۲۲۲	۳۵۳/۶	۶۰۶/۱	۶۲۹/۷	۶۳۲/۴	۶۲۷/۲	۵۰۸/۴	۳۳۲/۴	۲۲۶/۷	۱۴۴/۵	۱۱۴	-۶۰
۵۶/۲	۱۳۴/۵	۲۰۹	۴۶۸/۵	۵۱۴/۴	۵۲۰/۶	۵۳۶/۴	۳۹۵/۵	۲۳۰/۳	۸۵/۳	۶۶/۲	۴۷/۴	-۴۵
۱۲/۱	۵۵/۷	۱۵۰/۴	۳۲۶/۷	۳۶۹/۲	۳۷۳/۴	۳۶۸/۱	۲۷۷	۱۳۰/۹	۵۵/۸	۱۴/۸	۱۰/۴	-۳۰
۱/۵	۸/۷	۶۶/۹	۱۸۰/۶	۱۹۴/۲	۲۱۵/۴	۲۱۴/۸	۱۵۳/۶	۵۲	۹/۶	۰/۱۲	۰/۳۸	-۱۵
			۱۵/۸	۶۰/۴	۶۷/۳	۶۲/۲	۶۸/۱	۵۱/۱	۸/۴			

جدول ۸ میزان انرژی دریافتی در سطوح قائم سقز دوره سرد سال (ساعت آفتابی)

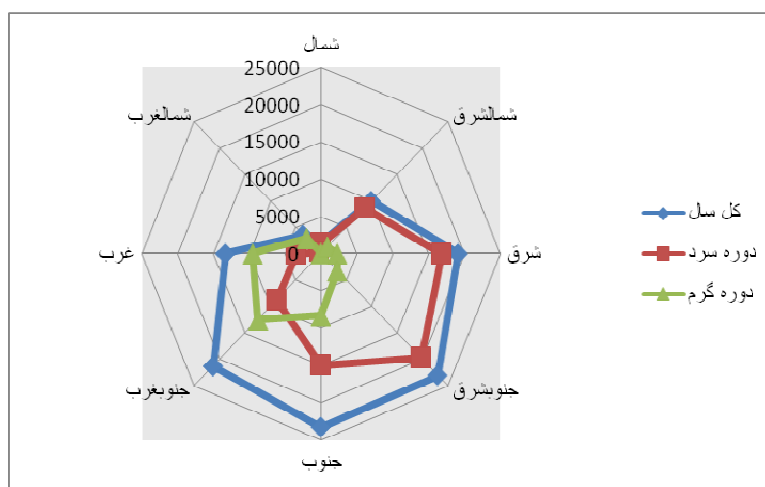
دسامبر	نوامبر	اکتبر	سپتامبر	اگوست	ژولای	ژوئن	مئ	آوریل	مارس	فوریه	ژانویه	
												شمال
												+۱۵
۱/۵	۸/۷	۶۶/۹	۱۸۰/۶	۱۸۴/۷	۱۹۵/۲	۲۰۴/۴	۱۳۰/۶	۵۲	۹/۶	۰/۱۲	۰/۳۸	+۳۰
۱۲/۱	۵۵/۷	۱۵۰/۴	۳۳۶/۷	۳۲۰/۹	۳۳۳/۱	۳۲۹/۲	۳۰۱/۲	۱۳۰/۹	۵۵/۸	۱۴/۸	۱۰/۴	+۴۵
۵۶/۲	۱۳۴/۵	۲۰۹	۴۶۶/۵	۴۳۴	۴۲۹	۴۵۵/۱	۳۵۸	۳۳۰/۳	۸۵/۳	۶۶/۲	۴۷/۴	+۶۰
۱۲۵/۵	۲۳۳	۳۵۳/۶	۵۷۴/۵	۵۰۷/۶	۴۲۵/۶	۴۸۲/۸	۲۹۷/۳	۳۳۲/۴	۲۲۶/۷	۱۴۴/۵	۱۱۴	+۷۵
۲۱۱/۳	۳۳۹/۲	۴۴۱	۶۴۳/۳	۵۴۶/۶	۵۴۷/۷	۵۴۲/۸	۳۱۶/۳	۴۲۲/۶	۳۲۸	۱۸۵	۲۰۰/۷	شرق
۳۱۰	۴۵۳/۵	۵۲۳/۳	۶۶۸	۵۴۵/۹	۵۵۲/۵	۵۴۴/۴	۶۷۳/۳	۵۰۹/۵	۴۳۶/۹	۳۵۲/۲	۳۰۲	+۱۰۵
۴۱۴/۸	۵۶۰	۵۸۳/۵	۶۴۷/۸	۵۱۲/۶	۵۱۹/۶	۵۰۴/۷	۶۲۲/۳	۵۷۲/۵	۴۶۶/۷	۴۶۷	۴۱۰/۲	+۱۲۰
۵۱۵/۸	۶۵۸	۶۱۱/۹	۵۸۳/۱	۴۴۱/۷	۴۵۲	۴۳۸/۵	۶۱۲	۶۱۵	۵۹۹/۹	۵۸۱/۵	۵۳۲/۵	+۱۳۵
۶۱۷/۵	۷۲۳	۶۰۴/۶	۴۷۸/۶	۳۴۱/۳	۳۵۵/۵	۳۳۸/۴	۵۸۶/۶	۶۴۴/۹	۷۱۲/۹	۶۹۴/۴	۶۳۳/۲	+۱۵۰
۶۹۲/۲	۷۲۲/۳	۵۹۳/۲	۳۳۳/۸	۲۱۷/۳	۲۹۹/۵	۲۱۵/۱	۴۴۹/۹	۶۶۴	۷۶۹/۶	۷۲۶/۳	۷۰۱	+۱۶۵
۷۶۸/۴	۸۵۱/۹	۶۷۸/۷	۱۸۱/۲	۷۸/۵	۹۰/۸	۷۷/۲	۵۲۳/۸	۶۸۴/۵	۸۰۹/۷	۸۰۱/۷	۷۲۵/۶	جنوب
۶۹۲/۲	۷۲۲/۳	۵۶	۶۹	۱/۷	۸/۲	۲/۲	۱۱۶/۴	۶۶۴	۷۶۹/۶	۷۲۶/۳	۷۰۱	-۱۶۵
۶۱۷/۵	۷۲۳	۳۰۲/۲	۱۵/۹				۵۵	۶۴۴/۹	۷۱۲/۹	۶۹۴/۴	۶۳۳/۲	-۱۵۰
۵۱۵/۸	۶۵۸	۲/۲					۲۱/۲	۶۱۵	۵۹۹/۹	۵۸۱/۵	۵۳۲/۵	-۱۳۵
۴۱۴/۸	۵۶۰							۵۷۲/۵	۴۶۶/۷	۴۶۷	۴۱۰/۲	-۱۲۰
۳۱۰	۴۵۳/۵							۵۰۹/۵	۴۳۶/۹	۳۵۲/۲	۳۰۲	-۱۰۵
۲۱۱/۳	۳۳۹/۲							۴۲۲/۶	۳۲۸	۱۸۵	۲۰۰/۷	غرب
۱۲۵/۵	۲۳۳							۳۳۲/۴	۲۲۶/۷	۱۴۴/۵	۱۱۴	-۷۵
۵۶/۲	۱۳۴/۵							۳۳۰/۳	۸۵/۳	۶۶/۲	۴۷/۴	-۶۰
۱۲/۱	۵۵/۷							۱۳۰/۹	۵۵/۸	۱۴/۸	۱۰/۴	-۴۵
۱/۵	۸/۷							۵۲	۹/۶	۰/۱۲	۰/۳۸	-۳۰
								۸/۴				-۱۵

جدول ۹ میزان انرژی دریافتی در سطوح قائم سقز دوره گرم سال (ساعات آفتابی)

دسامبر	نوامبر	اکتبر	سپتامبر	اگوست	ژولای	ژوئن	مئ	آوریل	مارس	فوریه	ژانویه	
												شمال
												+۱۵
					۹/۴	۱۹/۶	۹	۲۲/۹				+۳۰
					۳۸/۲	۵۰/۲	۳۸/۸	۷۵/۸				+۴۵
			۱/۹	۸۰/۳	۹۱/۶	۸۱/۳	۱۳۷/۴					+۶۰
			۳۱/۵	۱۲۲	۲۰۶/۷	۱۴۴/۳	۲۱۱					+۷۵
			۵۹/۱	۱۵۵/۳	۱۵۳/۲	۱۵۵/۷	۲۷۰/۲					شرق
			۱۴۷/۲	۱۹۵	۱۸۲/۶	۱۹۴/۸						+۱۰۵
			۱۵۲	۲۲۱/۵	۱۹۹/۵	۲۲۰/۸						+۱۲۰
		۲/۱	۲۱۲/۲	۲۳۸/۲	۲۰۲/۲	۲۳۶/۱	۱۲/۲					+۱۳۵
		۳۰/۱	۲۷۵/۹	۲۳۲/۸	۲۰۶/۸	۲۵۱/۹	۵۵					+۱۵۰
		۵۶	۳۵۸/۸	۲۷۴/۶	۲۱۶/۶	۲۷۳	۱۱۶/۴					+۱۶۵
		۷۸/۱	۴۸۱/۴	۳۶۱	۳۵۸/۵	۳۵۶/۱	۹/۸					جنوب
		۵۸۷	۶۱۳/۶	۴۹۰/۲	۴۳۷/۹	۴۸۵/۹	۴۴۹/۹					-۱۶۵
		۶۰۴/۶	۷۳۸/۵	۵۷۴/۱	۵۹۹/۴	۵۹۰/۳	۵۸۶/۶					-۱۵۰
		۶۱۱/۳	۷۹۵/۳	۶۸۰/۲	۶۵۵/۴	۶۷۴/۷	۶۱۲					-۱۳۵
		۵۸۳/۵	۷۹۹/۸	۷۳۴/۳	۷۱۹/۲	۷۲۵/۶	۶۶۲/۳					-۱۲۰
		۵۲۳/۲	۸۱۵/۳	۷۴۱	۷۳۵/۲	۷۳۹/۳	۶۷۳/۳					-۱۰۵
		۴۴۱	۷۰۳/۴	۷۰۲	۷۰۱	۶۹۹/۱	۵۸۶/۵					غرب
		۳۵۳/۶	۶۰۶/۱	۶۲۹/۷	۶۳۲/۴	۵۳۶/۴	۵۰۸/۳					-۷۵
		۳۰۸/۹	۴۶۸/۴	۵۱۴/۴	۵۲۰/۶	۳۸۶/۱	۳۹۵/۵					-۶۰
		۱۵۰/۴	۳۳۶/۶	۳۶۹/۲	۳۷۳/۴	۲۱۴/۸	۲۷۷					-۴۵
		۶۶/۹	۱۸۰/۵	۱۹۴/۲	۲۱۵/۴	۶۸	۱۵۳/۵					-۳۰
		۱۵/۸	۶۰/۴	۶۷/۳	۶۲/۲		۵۱/۱					-۱۵

همان‌گونه که در این جداول مشاهده می‌شود، در تمام سال، انرژی خورشیدی دریافت شده بر سطوح مختلف در جهات شرقی و غربی تقارن دارند و بیشترین مقدار متعلق به ۱۵ درجه شرقی و ۱۵ درجه غربی می‌باشد و سطوح شمالی نیز کمترین مقدار انرژی سالیانه را دریافت می‌کنند. لکن این جهتها در ارتباط با کسب انرژی خورشیدی در مواقع (سرد و گرم) عملکرد متفاوتی دارند. نمودار (۳) تغییرات میزان انرژی خورشیدی دریافتی در جهات مختلف در مواقع سرد و گرم را نشان می‌دهد. بر اساس این نمودار جهات شرقی بیشترین مقدار انرژی را در مواقع سرد و جهات غربی بیشترین مقدار را در مواقع گرم دریافت می‌دارند. لذا با توجه به ضوابط تعیین شده برای انتخاب جهت استقرار ساختمان جهت جنوب شرقی جهت ایتیمم و جهات ۱۰۵ درجه شرقی تا جهت جنوب جزو جهات قابل قبول استقرار ساختمان از نظر دریافت انرژی خورشیدی هستند. و از لحاظ تأثیر باد غالب بر ساختمان خم بهترین جهت است، زیرا باد غالب سقز از جهت جنوب غربی و شمال غربی است.

نمودار ۳ کل انرژی دریافتی در جهات مختلف سقز به تفکیک مواقع گرم و سرد سال، (ساعات آفتابی)



البته نتایج به دست آمده تنها در مورد ساختمان‌هایی صادق است که دارای یک نمای اصلی هستند و در مورد ساختمان‌هایی که دارای دو نمای اصلی متقابل اند (دو نمای شمالی و جنوبی) و از این دو نما انرژی دریافت می‌کنند، مجموع انرژی‌های تابیده بر هر دو نما محاسبه شده است. جدول (۱۰) مقدار این انرژی را در مواقع سرد سال سقز نشان می‌دهد. بر اساس نتایج به دست آمده از این جدول جهت ۱۰۵+ و ۷۵-.

مناسبتترین جهت استقرار و جهت +۱۵ و -۱۶۵ درجه نامناسبترین جهت استقرار ساختمان‌های دو طرفه از نظر کسب انرژی خورشیدی هستند.

جدول ۱۰ کل انرژی خورشیدی تاییده شده بر نماهای اصلی ساختمانهای دو طرفه در مواقع سرد btu

ردیف	جهت دریافت انرژی	زاویه استقرار ساختمان	مقدار دریافت انرژی btu	درصد
۱	شمال و جنوب	S	۶۳۷۲	۸۸/۹
۲	+۱۵ و -۱۶۵	15°w	۴۵۶۲/۸	۶۴/۷
۳	+۳۰ و -۱۵۰	30°w	۵۱۶۱/۷	۷۳/۲
۴	شمال شرق و جنوب غرب	45°w	۵۴۶۷/۴	۷۷/۵
۵	+۶۰ و -۱۲۰	60°w	۵۶۲۰/۷	۷۹/۷
۶	+۷۵ و -۱۰۵	75°w	۶۱۸۱/۶	۸۷/۷
۷	شرق و غرب	E	۶۴۱۱/۳	۹۰/۹
۸	+۱۰۵ و -۷۵	75°E	۷۰۴۷/۶	۱۰۰
۹	+۱۲۰ و -۶۰	60°E	۶۸۵۹/۸	۹۷/۳
۱۰	جنوب شرقی و شمال غرب	45°E	۶۹۲۱/۶	۹۸/۲
۱۱	+۱۵۰ و -۳۰	30°E	۶۸۰۰/۲	۹۶/۴
۱۲	+۱۶۵ و -۱۵	15°E	۶۳۸۲/۶	۹۰/۵

تعیین ویژگی مصالح

در مناطق سرد هدف اصلی حفظ حرارت در داخل ساختمان است و عمده‌ترین عامل در این مورد، مقاومت حرارتی دیوارهای جانبی ساختمان است. بنابراین در این مناطق، دیوارهای جانبی ساختمان باید مقاومت حرارتی مناسبی داشته باشد تا از اتلاف حرارت داخلی ساختمان جلوگیری کند.

حداکثر ضریب رسانش حرارتی لازم برای مصالح یک دیوار را می‌توان با استفاده از رابطه‌ی زیر به دست آورد:

$$K_{\max} = \frac{h_i \times \Delta t_i}{t_i - t_{(0)\min}}$$

در این رابطه (k_{\max}) ضریب رسانش حرارتی، (h_i) ضریب سطح داخلی، (Δt_i) اختلاف دمای هوا و سطح داخلی، (t_i) دمای هوای داخلی و $(t_{(0)\min})$ دمای بحرانی هوای خارج است. حال اگر ضریب

سطح داخلی را ۷ فرض کنیم (شرایط مطلوب برای هوای داخلی، دمای ۲۰ تا ۲۲ درجه سانتی گراد پیشنهاد شده است). (کسمایی، ۱۳۸۵)، و اختلاف دمای هوا و سطح داخلی آن را ۳ تا ۵ درجه‌ای سانتی گراد در نظر بگیریم ضریب رسانش مطلوب (K_{des}) و بیشینه‌ی ضریب رسانش قابل قبول (k_{max}) به صورت زیر محاسبه خواهد شد:

$$K_{des} = \frac{7 \times 3}{20 - t_{(0)_{min}}} = \frac{21}{20 - t_{(0)_{min}}}$$

$$K_{max} = \frac{7 \times 5}{20 - t_{(0)_{min}}} = \frac{35}{20 - t_{(0)_{min}}}$$

و چون مقاومت حرارتی عکس ضریب رسانش است، با مشخص بودن دمای بحرانی شرایط هوای خارج (میانگین کمینه‌ی دمای هوا در سردترین ماه) می‌توان مقاومت حرارتی دیوارها را با استفاده از روابط زیر به دست آورد:

$$R_{des} = \frac{20 - t_{(0)_{min}}}{21}$$

$$R_{min} = \frac{20 - t_{(0)_{min}}}{35}$$

البته این روابط برای محاسبه‌ی مقاومت حرارتی دیوارهای ساختمانی به شکل بلوک‌های بزرگ و طولی پیشنهاد شده است که سطح خارجی آپارتمان‌ها یا واحدهای داخلی آنها کم است. برای به دست آوردن مقاومت حرارتی دیوار ساختمان‌های کوچک یا آپارتمان‌هایی با سطح خارجی زیاد باید مقدار به دست آمده از فرمول را به میزان ده درصد افزایش داد. همچنین برای محاسبه‌ی مقاومت حرارتی بام‌ها باید مقدار به دست آمده از فرمول‌های بالا را به میزان بیست درصد افزایش دهیم. زیرا بام ساختمان‌ها با ساطع کردن پرتو با طول موج بلند به طرف آسمان، حرارت بیشتری را نسبت به دیوارها از دست می‌دهد. پس از به دست آوردن مقاومت حرارتی مورد نیاز، با استفاد از جدول‌های ۱۱ و ۱۲ می‌توان جنس دیوارها یا بام ساختمان مورد نظر را بر اساس وزن واحد سطح آنها را تعیین کرد.

جدول ۱ مقاومت حرارتی مورد نیاز دیوارها ($m^2 \times h \times deg c / kcal$)

وزن (kg/m^2)	شرایط بحرانی هوای خارج $t_{(e)min}$ (درجه سانتیگراد)								
	0	+	-0	-۸	-۱۰	-۱۵	-۲۰	-۲۵	-۳۰
۲۰	۰/۷۴	۰/۹۹	۱/۲۴	۱/۳۹	۱/۴۹	۱/۷۴	۱/۹۹	۲/۲۴	۲/۴۹
۵۰	۰/۷۲	۰/۹۷	۱/۲۲	۱/۳۷	۱/۴۷	۱/۷۲	۱/۹۷	۲/۲۲	۲/۴۷
۱۰۰	۰/۷۰	۰/۹۵	۱/۲۰	۱/۳۵	۱/۴۵	۱/۷۰	۱/۹۵	۲/۳۰	۲/۴۵
۲۰۰	۰/۶۵	۰/۹۰	۱/۱۵	۱/۳۰	۱/۴۰	۱/۶۵	۱/۹۰	۲/۱۵	۲/۴۰
۳۰۰	۰/۶۰	۰/۸۵	۱/۱۰	۱/۲۵	۱/۳۵	۱/۶۰	۱/۸۵	۲/۱۰	۲/۳۵
۵۰۰	۰/۵۰	۰/۷۵	۱/۰۰	۱/۱۵	۱/۲۵	۱/۵۰	۱/۷۵	۲/۰۰	۲/۳۵
۷۰۰	۰/۴۰	۰/۶۵	۰/۹۰	۱/۰۵	۱/۱۵	۱/۴۰	۱/۶۵	۱/۹۰	۲/۱۵
۹۰۰	--	۰/۵۵	۰/۸۰	۰/۹۵	۱/۰۵	۱/۳۰	۱/۵۵	۱/۸۰	۲/۰۵

جدول ۱۲ حداقل مقاومت حرارتی دیوارها ($m^2 \times h \times deg c / kcal$)

وزن (kg/m^2)	شرایط بحرانی هوای خارج $t_{(e)min}$ (درجه سانتیگراد)								
	0	+	-0	-۸	-۱۰	-۱۵	-۲۰	-۲۵	-۳۰
۲۰	۰/۴۲	۰/۵۷	۰/۷۱	۰/۸۰	۰/۸۵	۰/۹۹	۱/۱۴	۱/۲۸	۱/۴۲
۵۰	۰/۴۱	۰/۵۶	۰/۷۰	۰/۷۹	۰/۸۴	۰/۹۸	۱/۱۳	۱/۲۷	۱/۴۱
۱۰۰	۰/۴	۰/۵۴	۰/۶۸	۰/۷۷	۰/۸۳	۰/۹۷	۱/۱۱	۱/۲۶	۱/۴۰
۲۰۰	۰/۳۷	۰/۵۲	۰/۶۶	۰/۷۵	۰/۸	۰/۹۴	۱/۰۹	۱/۲۳	۱/۳۷
۳۰۰	۰/۳۴	۰/۴۹	۰/۶۳	۰/۷۲	۰/۷۷	۰/۹۱	۱/۰۶	۱/۲۰	۱/۳۴
۵۰۰	--	۰/۴۳	۰/۵۷	۰/۶۶	۰/۷۲	۰/۸۶	۱/۰۰	۱/۱۴	۱/۲۹
۷۰۰	--	۰/۳۷	۰/۵۱	۰/۶۰	۰/۵۶	۰/۸۰	۰/۹۴	۱/۰۹	۱/۲۳
۹۰۰	--	--	۰/۴۶	۰/۵۵	۰/۶۰	۰/۷۴	۰/۸۸	۱/۰۳	۱/۱۷

با توجه به این که سقز در منطقه سردسیر قرار گرفته و میانگین کمینه‌ی دمای هوای آن ۸- درجه‌ای سانتی-گراد است، نوع مصالح ساختمانی را در این شهر تعیین می‌کنیم:

$$R_{des} = \frac{20 - (-8)}{21} = \frac{28}{21} = 1.33 (m^2 \times h \times deg c / kcal)$$

$$R_{min} = \frac{20 - (-8)}{35} = \frac{28}{35} = .8 (m^2 \times h \times deg c / kcal)$$

با مراجعه به جدول‌های یاد شده در می‌یابیم که وزن مصالح ساختمان مطلوب برای دیوارهای ساختمان یک مجموعه مسکونی یا یک ساختمان بلند مرتبه‌ای معمولی باید معادل صد کیلوگرم در متر مربع باشد. ولی برای یک ساختمان مسکونی کوچک با احتساب ضریب ده درصد، مقاومت مطلوب معادل $1/46$ است ($1/46 = 1/10 * 1/33$) و چون مقاومت سبک‌ترین در دمای ۸- درجه‌ی سانتی‌گراد کمتر از مقدار بالاست (۱/۳۹)، نتیجه می‌گیریم که برای ایجاد شرایط مطلوب در این ساختمان، علاوه بر مصالح ساختمانی باید لایه‌های عایق حرارتی نیز به مصالح دیوار افزوده شود.

نتیجه‌گیری و پیشنهادها

همان‌گونه که ملاحظه شد، بر اساس شاخص گیونی دو ماه (می و اکتبر) از سال دارای شرایط مطلوب آسایشی وجود دارد و در چهار ماه از سال (ژوئن، ژولای، آگوست و سپتامبر) در سال شریط نامطلوب آسایشی است و روزها و شب‌های بقیه مواقع سال سرد است، و استفاده از سیستم‌های گرمایش مکانیکی ضروری است. در مجموع نیاز به گرمایش مکانیکی $43/7$ درصد از کل سال است. امکان بهره‌گیری از انرژی خورشیدی $20/8$ درصد از کل سال است.

شرایط آسایش در فضاها بسته $10/4$ درصد از کل سال است. شرایط آسایش کامل $11/1$ درصد از تمام سال است. امکان بهره‌گیری از مصالح سنگین ساختمانی $9/20$ درصد از کل سال است. با نظر به نتایج به دست آمده برای ایستگاه سقر، مشخص شد که شرایط آسایش در منطقه چیزی حدود $43/7$ از کل سال در شرایط نامطلوب (خیلی سرد) قرار می‌گیرد و نیاز به استفاده از وسایل گرمازا دارد، همچنین شرایط آسایش مطلوب کامل در طول سال از میزان بسیار کمی برخوردار است. که در صورت بهره‌گیری از شرایط مطلوب محیطی (انرژی خورشیدی و مصالح مناسب، کاهش اتلاف گرما) امکان افزایش شرایط آسایش مطلوب در منطقه تا حدود $56/3$ در طول سال وجود دارد. برای طراحی جهت ساختمان در سقر جهت قابل قبول در منطقه جهت 45 درجه شرقی تا شرق می‌باشد، البته اگر از بادشکن‌های طبیعی مانند درختکاری و ... استفاده کنیم (برای بادهای فرعی ماههای نوامبر و دسامبر) می‌تواند جهت مناسبی باشد. وزن مصالح ساختمان مطلوب برای دیوارهای ساختمان یک مجموعه مسکونی یا یک ساختمان بلند مرتبه‌ای معمولی باید معادل صد کیلوگرم در متر مربع باشد. ولی برای یک ساختمان مسکونی کوچک با

احتساب ضریب ده درصد، مقاومت مطلوب معادل $1/46$ است ($1/46 = 1/10 * 1/33$) و چون مقاومت سبکترین در دمای ۸- درجه سانتی گراد کمتر از مقدار بالاست (۱/۳۹)، نتیجه می گیریم که برای ایجاد شرایط مطلوب در این ساختمان، علاوه بر مصالح ساختمانی باید لایه های عایق حرارتی نیز به مصالح دیوار افزوده شود.

پیشنهادها

- استقرار ساختمان در جهت بهینه ۴۵ درجه و جهات قابل قبول ۳۰ درجه و ۱۵+ درجه شرقی از مبدأ شرق؛
- استقرار ساختمان های به هم پیوسته و مجموعه ای با دیوارهای مشترک بیشتر در شیب های رو به جنوبی؛
- پیش بینی فضاهای گرمازا مانند آشپزخانه در مرکز پلان؛
- پیش بینی فضاهای کم اهمیت مثل انبار به عنوان عایق حرارتی در جدارها و یا قسمتهای سرد ساختمان؛
- استفاده از سیستم های گلخانه ای متصل به فضاهای داخلی در قسمت جنوب بنا؛
- استفاده از مصالح ساختمانی با ظرفیت حرارتی زیاد و از رنگ های تیره و سطوح خشن برای نمای رو به جنوب ساختمان؛
- استفاده از پنجره های دو گانه و با شیشه های چند لایه برای کلیه سطوح شفاف خارجی ساختمان و درزبندی و عایق بندی کلیه بازشوهای ساختمان؛
- استفاده از انواع پرده ها و دریچه های پشت پنجره به منظور جلوگیری از اتلاف حرارت؛
- فرم کالبدی ساختمان و الگوی اشغال زمین به گونه ای باشد که سازگاری کامل با جذب بیشینه تابش آفتاب در فصل سرد داشته باشد؛
- ممانعت از استقرار ساختمان در جهت جنوب غربی با توجه به دریافت کمینه تابش در این جهت در فصل سرما و بالعکس.

یادداشت ها

۱. با توجه به حجم زیاد محاسبات به منظور جلوگیری از طولانی شدن کلام از آوردن آنها خودداری شد.

کتابنامه

۱. پوردیهیمی، شهرام. (۱۳۷۱). بررسی تعیین اقلیم اصفهان و تعیین اصول و ضوابط طراحی مسکن. دفتر فنی دانشکده معماری و شهرسازی. دانشگاه شهید بهشتی.
۲. توسلی، محمود. (۱۳۶۰). ساخت شهر و معماری در اقلیم گرم و خشک ایران. دانشکده هنرهای زیبا. دانشگاه تهران.
۳. جهان‌بخش، سعید. (۱۳۷۷). ارزیابی زیست‌اقلیم انسانی تبریز و نیازهای حرارتی ساختمان. مجله تحقیقات جغرافیایی. شماره نهم.
۴. رازجویان، محمود. (۱۳۶۷). آسایش به وسیله معماری همساز با اقلیم. انتشارات دانشگاه شهید بهشتی تهران.
۵. رازجویان، محمود. (۱۳۶۷). «شرایط کوران هوا». مجله صفا. شماره ۱۷، ۱۸.
۶. رازجویان، محمود. (۱۳۷۹). آسایش در پناه باد. انتشارات دانشگاه شهید بهشتی تهران.
۷. روشن زائر، امانت‌الله. (۱۳۴۵). فیزیک عمومی. استفاده از انرژی خورشیدی در خانه و کارخانه و مزرعه. انتشارات دانشگاه تهران.
۸. رهنمایی، محمد تقی. (۱۳۶۹). مجموعه مباحث و روش‌های شهرسازی (جغرافیا). انتشارات مرکز مطالعات و تحقیقات شهرسازی و معماری وزارت مسکن و شهرسازی.
۹. ریاضی، جمشید. (۱۳۷۴). اصول محاسبه انتقال حرارت در اجزای ساختمانی. مرکز تحقیقات ساختمان و مسکن. نشریه شماره ۲۱۱.
۱۰. ریاضی، جمشید. اقلیم و آسایش در ساختمان. مرکز تحقیقات ساختمان و مسکن. نشریه شماره ۱۱. تهران.
۱۱. صمیمی، جلال. (۱۳۶۵). (انرژی خورشیدی برای ایران). مجله‌ی فیزیکی. جلد سوم. شماره ۲.
۱۲. طاوسی، تقی. (۱۳۸۱). تابش زمستانی خورشید و شهرسازی اصفهان. مجله سپهر. شماره مسلسل چهل و سه.
۱۳. طاهباز، منصوره. (۱۳۶۱). خورشید و جهت‌گیری ساختمان. انتشارات دانشگاه شهید بهشتی.
۱۴. عدل، احمد حسین. (۱۳۳۹). تقسیمات اقلیمی و رستنی‌های ایران. انتشارات دانشگاه تهران.

۱۵. غیور، حسنعلی. (۱۳۷۲). *اقلیم کاربردی دما و تشعشع در ارتباط با معماری*. مجله‌ی رشد آموزش جغرافیا. شماره مسلسل ۳۷.
۱۶. کاویانی، محمدرضا. (۱۳۷۲). «بررسی زیست‌اقلیم انسانی ایران». *فصلنامه‌ی تحقیقات جغرافیایی*. شماره ۲۸.
۱۷. کسمایی، مرتضی. (۱۳۶۳). *اقلیم و معماری*. انتشارات شرکت خانه‌سازی ایران.
۱۸. کسمایی، مرتضی. (۱۳۷۲). *بهنه‌بندی اقلیمی ایران مسکن و محیط‌های مسکونی*. انتشارات مرکز تحقیقات ساختمان و مسکن. تهران.
۱۹. واتسون، داند و کنت، لب. (۱۳۷۶). *طراحی اقلیمی*. ترجمه‌ی وحید قبادیان و فیض مهدوی. انتشارات دانشگاه تهران.
20. Dasgupta, P., Narasimhan, N., Moser, L. and Melliar-Smith, P. "MAgNET: Mobile agents for networked electronic trading", *IEEE Transactions on Knowledge and Data Engineering*, 11(4), pp 509.525 (1999).
21. Fox, M.S., Chionglo, J.F. and Barbuceanu, M., *The Integrated Supply Chain Management System*, University of Toronto (1993).
22. Fox, M.S. and Barbuceanu, M., *Agent Oriented, Supply Chain Management*, Kluwer (2000).
23. Hayzelden, A.L.G. and Bourne, R.A., *Agent Technology for Communication Infrastructures*, John Wiley & Sons (2001).
24. Jiao, J.R., You, X. and Kumar, A. "An agent based framework for collaborative negotiation in the global manufacturing supply chain network", *Robotics and Computer Integrated Manufacturing*, 22, pp 239.255 (2006).
25. Liu, D.Y., Yang, K. and Chen, J.Z. "Agents: Present status and trends", *Journal of Software*, 11(3), pp 315.321 (2000).
26. Nwana, H.S. and Ndumu, D.T. "A perspective on software agents research", *Knowledge Engineering Review*, 14(2), pp 125.142 (1999).
27. Sycara, K., *In. Context Information Management Through Adaptive Collaboration of Intelligent Agents*, published in Intelligent Information Agents, Springer (1999).
28. WATSON, D & LABS, K: CLIMATIC DESIGN, NEWYORK, McGraw – Hill Book Company, 1983.
29. Wang, Y. and Sang, D. "Multi agent framework for third party logistics in E.commerce", *Expert Systems with Applications*, 29, pp 431.436 (2005).
30. Xue, X., Li, X., Shen, Q. and Wang, Y. "An agent based framework for supply chain coordination in construction", *Journal of Automation in Construction*, 14, pp 413.430 (2005).
31. Zarandi, M.H.F., Turksen, L.B. and Saghiri, S. "Fuzzy multiple objective supplier selection in multiple products and supplier environment", *International Journal of Engineering Science*, 16(2), pp 1.20 (2005).